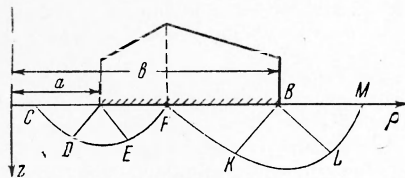


**О ВДАВЛИВАНИИ КОЛЬЦЕВОГО ШТАМПА В ПЛАСТИЧЕСКОЕ ПОЛУПРОСТРАНСТВО**

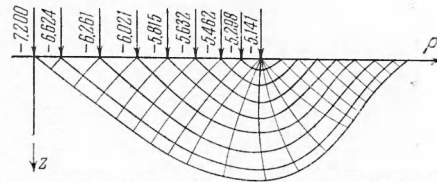
**В. А. Жалнин, Д. Д. Ивлев, В. С. Мищенко**  
(Воронеж)

Задача о вдавливании кругового штампа в пластическое полупространство рассматривалась А. Ю. Ишлинским [1], Р. Т. Шилдом [2]. Осесимметричные задачи статики сыпучей среды рассматривались в [3].

Ниже рассматривается задача о вдавливании кольцевого штампа в пластическое полупространство. Результаты, полученные численными методами на цифровой машине «Урал-1» ВЦ ВГУ, представлены в виде графиков, позволяющих определить предельную нагрузку для кольцевого штампа произвольных размеров.



Фиг. 1



Фиг. 2

1. Представим, что в полупространство из идеального жестко-пластического материала вдавливается кольцевой штамп, контур которого в плане ограничен двумя концентрическими окружностями радиусов  $a$  и  $b$  ( $a < b$ ).

Рассматриваемая задача является осесимметричной. Направим ось  $z$  в глубь полупространства, ось  $\rho$  — перпендикулярно к ней (фиг. 1).

Уравнения равновесия будут иметь вид

$$\frac{\partial \sigma_\rho}{\partial \rho} + \frac{\partial \tau_{\rho z}}{\partial z} + \frac{\sigma_\rho - \sigma_\theta}{\rho} = 0, \quad \frac{\partial \tau_{\rho z}}{\partial \rho} + \frac{\partial \sigma_z}{\partial z} + \frac{\tau_{\rho z}}{\rho} = 0 \quad (1)$$

Будем считать, что имеет место условие пластичности Треска. Тогда, используя условие соответствия напряженного состояния ребру призмы Треска (условие полной пластичности), получим

$$(\sigma_\rho - \sigma_z)^2 + 4\tau_{\rho z}^2 = 4k^2, \quad \sigma_\theta = \frac{1}{2}(\sigma_\rho + \sigma_z) \pm k \quad (2)$$

Здесь  $k$  — предел текучести.

В дальнейшем все величины, имеющие размерность напряжения, будем считать безразмерными, отнесенными к пределу текучести  $k$ .

Условию (2) удовлетворим, полагая

$$\sigma_\rho = -p - k \sin 2\varphi, \quad \sigma_z = -p + k \sin 2\varphi, \quad \tau_{\rho z} = k \cos 2\varphi, \quad \sigma_\theta = -p \pm k \quad (3)$$

Подставляя выражения (3) в уравнения (1), получим

$$\begin{aligned} \frac{\partial p}{\partial \rho} + 2k \cos 2\varphi \frac{\partial \varphi}{\partial \rho} + 2k \sin 2\varphi \frac{\partial \varphi}{\partial z} + \frac{k}{\rho} (\sin 2\varphi \pm 1) &= 0 \\ \frac{\partial p}{\partial z} + 2k \sin 2\varphi \frac{\partial \varphi}{\partial \rho} - 2k \cos 2\varphi \frac{\partial \varphi}{\partial z} - \frac{k}{\rho} \cos 2\varphi &= 0 \end{aligned} \quad (4)$$

Уравнения (4) принадлежат к гиперболическому типу, их характеристики имеют вид

$$\begin{aligned} \frac{dz}{d\rho} &= \operatorname{tg} \varphi \quad (\alpha\text{-линии}), \\ \frac{dz}{d\rho} &= -\operatorname{ctg} \varphi \quad (\beta\text{-линии}) \end{aligned} \quad (5)$$

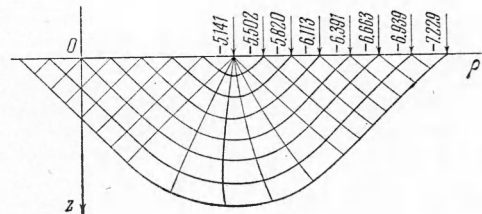
Соотношения на характеристиках (5) могут быть записаны в виде

$$dp + 2kd\varphi = -\frac{k}{\rho}(dz \pm d\rho) \quad (\text{вдоль } \alpha\text{-линий}) \quad (6)$$

$$dp - 2kd\varphi = \frac{k}{\rho}(dz \mp d\rho) \quad (\text{вдоль } \beta\text{-линий})$$

Следует отметить, что выбор знака в соотношениях (3), (6) определяется конкретными условиями задачи.

При вдавливании кольцевого штампа пластическая зона материала возникает как с внешней, так и внутренней стороны штампа.



Фиг. 3

Так как в данном случае задача сводится к определению решения уравнений гиперболического типа, то построение решения происходит независимо от внутренней ( $AC$ ) и внешней ( $BM$ ) частей свободной поверхности пластического материала (фиг. 1).

Задача сводится к построению численным методом предельной нагрузки от обеих частей свободной поверхности ( $AC$ ,  $BM$ ) и в определении точки  $F$ , соответствующей минимуму предельной нагрузки.

Решение от свободной поверхности  $BM$  по существу совпадает с решением А. Ю. Ишлинского [1] и Шилда [2]. В этом случае на  $BM$  (фиг. 1) при выдавливании пласти-

ческого материала происходит его удлинение вдоль оси  $\theta$ , поэтому  $\sigma_\theta > 0$  и в соотношениях (3), (6) следует взять верхний знак. Вдоль оси  $\rho$  на  $BM$  имеет место сжатие, поэтому  $\sigma_\rho < 0$ .

На фиг. 2 представлена сетка линий скольжения, соответствующая вдавливанию кругового штампа (сетка  $BMLKF$  на фиг. 1).

Единственным характерным размером в данном случае будет величина внешнего радиуса  $b$ . Все величины, имеющие размерность длины, могут быть отнесены к радиусу  $b$ , поэтому показанная на фиг. 2 сетка линий скольжения имеет место для кругового штампа любого радиуса.

В случае построения решения от внутренней части свободной поверхности  $AC$  (фиг. 1) вдоль осей  $\theta$  и  $\rho$  будет иметь

место сжатие пластического материала, поэтому на  $AC$  всегда  $\sigma_\theta < 0$ ,  $\sigma_\rho < 0$  и, следовательно, в соотношениях (3), (6) необходимо взять нижний знак.

На фиг. 3 представлена сетка линий скольжения, соответствующая вдавливанию штампа с круговым вырезом (сетка  $ACDEF$  на фиг. 1).

Единственным характерным размером в этом случае будет величина внутреннего радиуса  $a$ . Все величины, имеющие размерность длины, могут быть отнесены в этом случае к радиусу  $a$ , поэтому показанная на фиг. 3 сетка линий скольжения имеет место для штампа с круговым вырезом любого радиуса.

На фиг. 4 приведены графики, показывающие распределение предельного давления штампа в долях  $k$  (шкала  $k$ ) в зависимости от радиусов  $a$  и  $b$  (шкала  $a$  и  $b$ ).

Подчеркнем, что решение как от внутренней, так и внешней части свободной поверхности строится независимо одно от другого, поэтому величины  $a$  и  $b$  играют роль независимых параметров.

Отметим, что убывающая кривая на фиг. 4 соответствует вдавливанию кругового штампа (фиг. 2), возрастающая — штампу с круговым вырезом (фиг. 3). Значения давления растут в обоих случаях от значения  $-5.141$ , соответствующего решению Прандтля.

Для построения конкретного решения при фиксированных размерах  $a$  и  $b$  следует воспользоваться графиками фиг. 4. Точка  $F$  будет определена пересечением кривых давлений, идущих от частей свободной поверхности  $AC$  и  $BM$  (фиг. 1).

Следует иметь в виду, что в зависимости от отношения  $a/b$  возможны три случая расположения пластической зоны (фиг. 5).

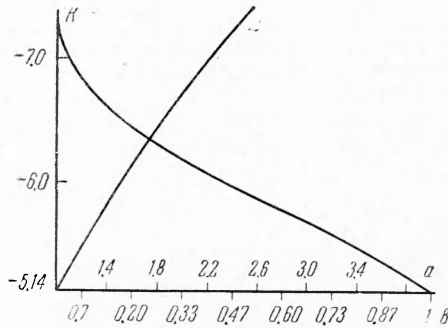
Первый случай (фиг. 5) имеет место при  $a/b = 0.56$ . При  $a/b > 0.56$  имеет место второй случай (фиг. 5), при  $a/b < 0.56$  имеет место третий случай (фиг. 5). Легко видеть, что построение соответствующего поля скоростей перемещений может быть проведено обычными приемами.

Авторы признательны А. В. Мартынову за содействие в выполнении работы.

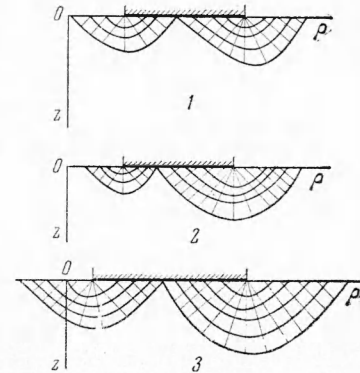
Поступила 20 V 1961

#### ЛИТЕРАТУРА

1. Ишлинский А. Ю. Осесимметричная задача пластичности и проба Бригелля, ПММ, 1944, т. VIII, вып. 3.
2. Шилд Р. Т. О пластическом течении металла в условиях осевой симметрии. Сб. переводов, Механика, ИИЛ, 1957, № 1.
3. Березанцев В. Г. Осесимметричная задача теории предельного равновесия сыпучей среды. М., Гостехиздат, 1952.



Фиг. 4



Фиг. 5